



УДК 519.23, 004.94

Е. Ю. Закемовская

Санкт-Петербургский государственный электротехнический университет «ЛЭТИ» им. В. И. Ульянова (Ленина)

Выбор частоты дискретизации при применении ортогонального дискретного вейвлет-преобразования

Определены основные условия восстановления ортогональным дискретным вейвлет-преобразованием информативного сигнала на фоне белого шума с минимальными амплитудно-фазовыми искажениями. Большое внимание уделено выбору частоты дискретизации исследуемого сигнала до осуществления преобразования.

Частота дискретизации, адаптивные фильтры, вейвлет-фильтр

Постановка задачи. Проблема применения ортогонального дискретного вейвлет-преобразования (ОДВП) для выделения информативной составляющей сигнала на фоне шума состоит в зависимости результатов данного типа дискретного вейвлет-преобразования от выбора частоты дискретизации исследуемой выборки. При осуществлении ОДВП используется двухканальная схема, в которой исходный сигнал делится на две субполосы, каждая из которых за счет операции прореживания отсчетов в два раза меньше исходной. В результате рекурсивного повторения этого процесса для обеих субполос получаем древовидное разбиение спектра на определенное количество уровней. Операция «прореживание отсчетов» может привести к эффекту наложения спектров (элайзингу) внутри каждой из субполос, следовательно, большей зависимости результатов преобразования от точности определения уровня разложения и числа нулевых моментов выбранного базиса. Уменьшение числа отсчетов исследуемой выборки при переходе с уровня J на уровень $(J + 1)$ вейвлет-дерева делает это преобразование зависимым от статистических свойств шума, от соответствующего продолжения сигнала конечной длины на его границах. Чтобы снизить влияние операции «прореживание отсчетов» на результаты вейвлет-преобразования, следует применять филь-

тры с прямоугольной амплитудно-частотной характеристикой (АЧХ) [1], но данный тип вейвлет-фильтров (с большим числом нулевых моментов) более подвержен эффекту Гиббса, который возникает в результате ограниченности спектра вейвлет-фильтра и неограниченности спектра сигнала [2].

Анализ проблемы. Далее будет показано, что выбор частоты дискретизации f_d исследуемого сигнала, чтобы снизить влияние эффекта наложения спектров, может быть осуществлен согласно следующему выражению:

$$f_d = 2f_{\max}L_{fc}, \quad (1)$$

где f_{\max} — максимальная частота в спектре исследуемого сигнала; L_{fc} — основной период (число отсчетов) базисной вейвлет-функции.

Условия восстановления информативного сигнала из аддитивной смеси «сигнал-помеха» с помощью ОДВП с минимальными амплитудно-фазовыми искажениями могут быть сформулированы следующим образом:

- соответствующий расчет фильтров анализа и синтеза;
- соответствующее продолжение сигнала конечной длины после разрыва;
- выбор способа пороговой обработки вейвлет-коэффициентов;
- выбор уровня разложения.

Рассмотрим основные требования, предъявляемые к вейвлет-фильтрам анализа и синтеза для осуществления ОДВП полного восстановления сигнала.

Полное восстановление исходного сигнала на выходе системы анализа-синтеза, свободное от элайзинга, обеспечивают квадратурно-зеркальные фильтры [1] – фильтры с конечной импульсной характеристикой, частотная характеристика которых симметрична относительно половины частоты дискретизации. Эта частота называется квадратурной.

Вейвлет-базисы, построенные на основе квадратурно-зеркальных фильтров, являются ортогональными. К множеству ортогональных вейвлетов с компактным носителем относятся вейвлеты Добеши, симлеты, койфлеты и т. д., обладающие различными частотно-временными свойствами [3].

Следует отметить, что квадратурно-зеркальные фильтры обеспечивают ликвидацию элайзинга (вне зависимости от частотных свойств ортонормированного базиса) только на выходе всей системы анализа-синтеза, в то время как в отдельных субполосах элайзинг остается и при недостаточно точно выбранной частоте дискретизации влияет на результат преобразования.

Среди ортогональных вейвлет-базисов вейвлеты Добеши оптимальны в том смысле, что они имеют минимальный размер носителя при заданном числе нулевых моментов [3]. Вейвлет-фильтры Добеши также являются нелинейно-фазовыми фильтрами.

На рис. 1 приведены импульсные характеристики низкочастотных (НЧ) фильтров анализа (а) и синтеза (б) Добеши 4.

На рис. 2 приведены амплитудно- и фазочастотная (ФЧХ) характеристики НЧ-вейвлет-фильтров анализа Добеши 4 (а и б соответственно), а на рис. 3 – АЧХ и ФЧХ НЧ-вейвлет-фильтров синтеза Добеши 4 (а и б соответственно). На рис. 4 изображены графики фазовых задержек, вносимых этими фильтрами (а – синтеза; б – анализа) в результат преобразования.

На графиках частотных характеристик вейвлет-фильтров (рис. 2–4) по оси абсцисс отложена нормированная частота Найквиста.

В отличие от фурье-преобразования функции анализа и синтеза прямого и обратного вейвлет-преобразований не являются комплексно-сопряженными, что приводит к групповому запаздыванию

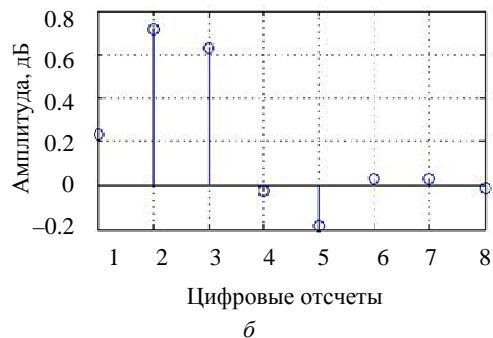
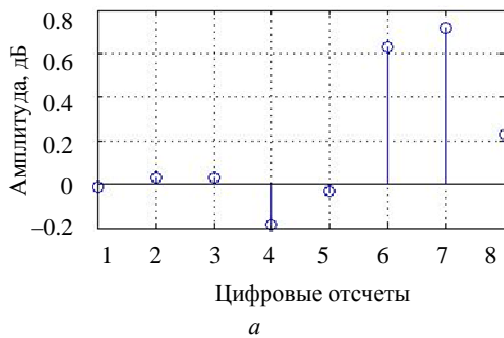


Рис. 1

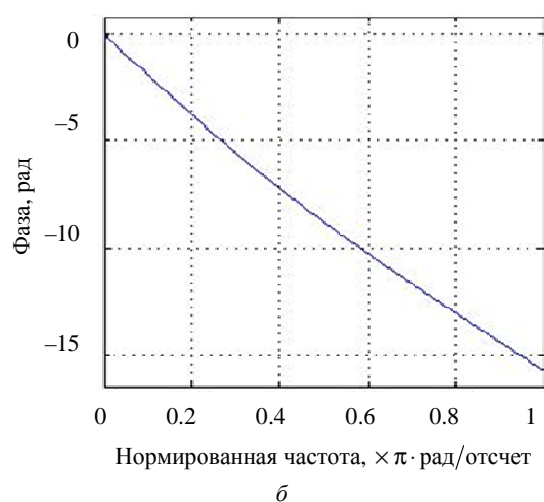
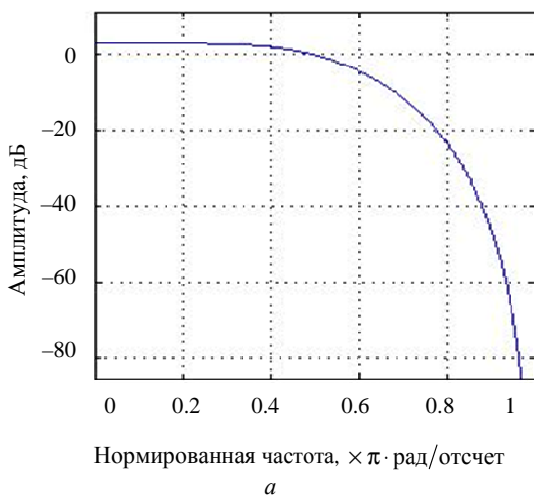


Рис. 2

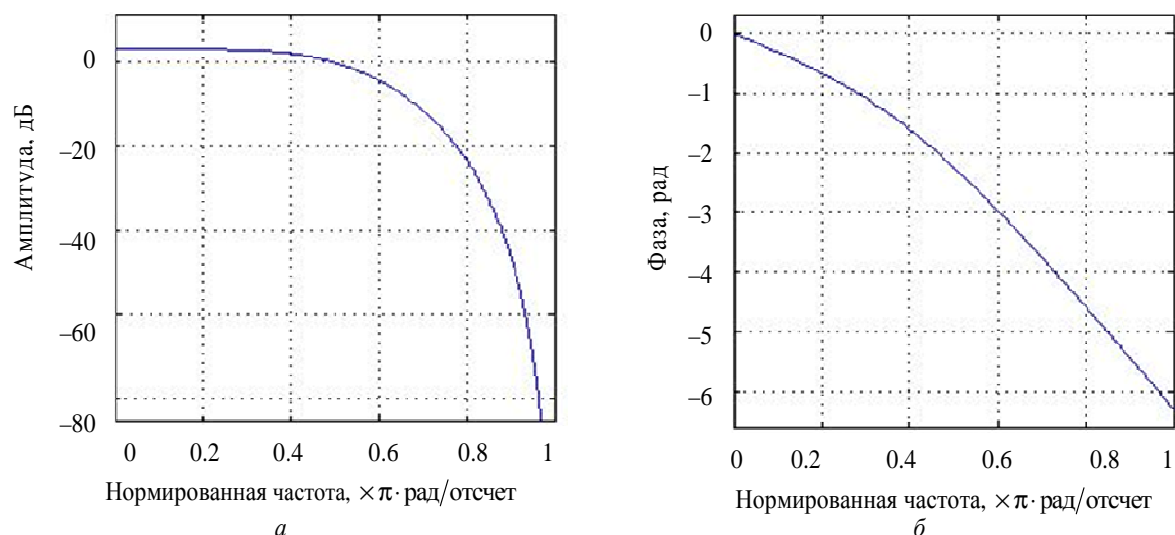


Рис. 3

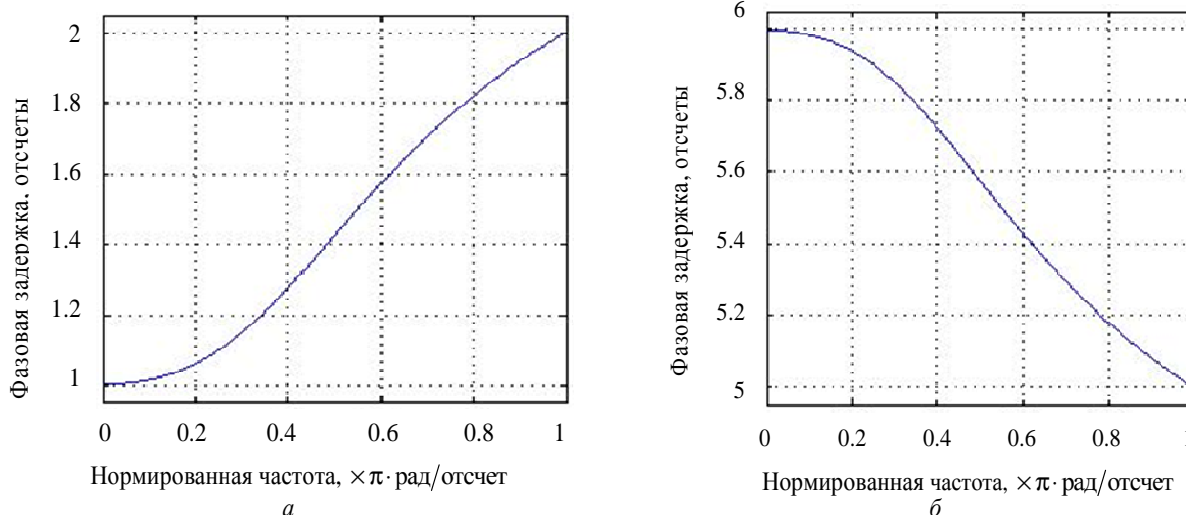


Рис. 4

результатов фильтрации. Задержка τ , вносимая фильтрами анализа и синтеза, при ОДВП одна и та же для каждого уровня вейвлет-дерева и может быть определена как $\tau = \frac{L_f}{2}$ (где L_f – число отсчетов импульсной характеристики вейвлет-фильтра) и скомпенсирована при выполнении обратного ОДВП.

Второе условие полного восстановления сигнала, как было указано ранее, – соответствующее продолжение сигнала конечной длины после разрыва. Проблема фильтрации сигналов конечной длины заключается в пересечении фильтром границы сигналов. Существующие способы решения данной проблемы приведены в [1]. В данной статье применен метод периодического продолжения сигнала, так как для выполнения ОДВП выбран несимметричный вейвлет Добеши. Длительность

отрезков продолжения по краям разрывов сигнала составляет $t = \frac{L_f}{2} - 1$ [1] – для каждого уровня разложения.

Третьим условием восстановления сигнала с помощью ОДВП с минимальными амплитудно-фазовыми искажениями является соответствующий способ пороговой обработки.

Пороговая вейвлет-обработка характеризуется пороговой функцией $\rho_T(x)$ и порогом T . Существующие способы пороговой обработки рассмотрены в [3].

Для рассмотренного сигнала *Vumps* далее будет применена мягкая пороговая вейвлет-обработка с минимаксным порогом, который вычисляется на основе среднеквадратического риска с помощью минимизации максимальной оценки функции риска. Следует также отметить, что зна-

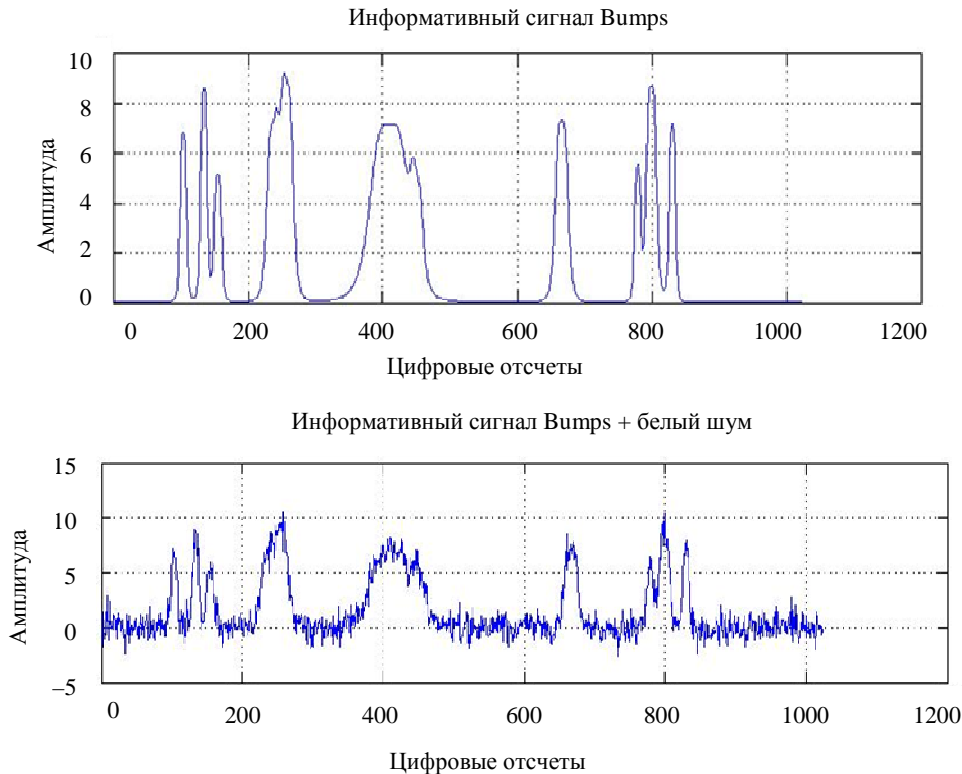


Рис. 5

чение порога принимается фиксированным для всех уровней разложения.

Четвертым условием восстановления является выбор оптимального дерева (уровня) вейвлет-разложения.

Для оценки оптимального дерева вейвлет-разложения естественно использовать алгоритм динамического программирования [3] и классические критерии на основе энтропии [3], которые обладают свойством аддитивности (объединения) по отношению к сигналам и дают информационные оценки сигналам.

В данной статье используется критерий на основе энтропии Шеннона $E(W) = -\sum_i W_i^2 \log(W_i^2)$ при следующем соглашении: $0 \cdot \log(0) = 0$, где W_i – вейвлет-коэффициенты i -го уровня разложения.

Будем считать, что основная информативная часть сигнала содержится в низкочастотной области. Фильтровая реализация ОДВП как однобокого дерева вейвлет-разложения приведена в [3].

Пример. Применим ОДВП вейвлетом Добеши 4 для выделения информативной составляющей сигнала *Bumps*, приведенного на рис. 5: отношение сигнал/шум исходной смеси составляет 12 дБ, шум белый гауссов, число отсчетов на пе-

риод принято равным 1024 отсчета (далее будет изменяться и в итоге уточнено).

На рис. 6 приведена зависимость результатов фильтрации ОДВП сигнала *Bumps* от уровня разложения при заданном числе отсчетов на период. Видно, что с ростом числа отсчетов на период погрешность фильтрации менее зависима от уровня разложения. На рис. 7 приведена зависимость результатов фильтрации ОДВП сигнала *Bumps* от числа нулевых моментов вейвлет-базиса при заданном числе отсчетов на период. Видно, что с ростом числа отсчетов на период погрешность фильтрации менее зависима от выбранного базиса.

Из результатов, приведенных на рис. 6, 7, следует возрастающее влияние эффекта наложения спектра с уменьшением частоты дискретизации.

Все погрешности на рис. 6 приведены в относительных величинах. Величина относительной среднеквадратической погрешности фильтрации [%] (СКО-погрешность) равна:

$$\sigma_{\text{sko}} = \frac{\sigma_{\text{sco}}}{\sigma_s} 100, \quad (2)$$

где $\sigma_{\text{sco}} = \sqrt{\frac{1}{N} \sum_{i=1}^N (x_i - \hat{x}_i)^2}$ – абсолютная среднеквадратическая погрешность фильтрации; x_i –

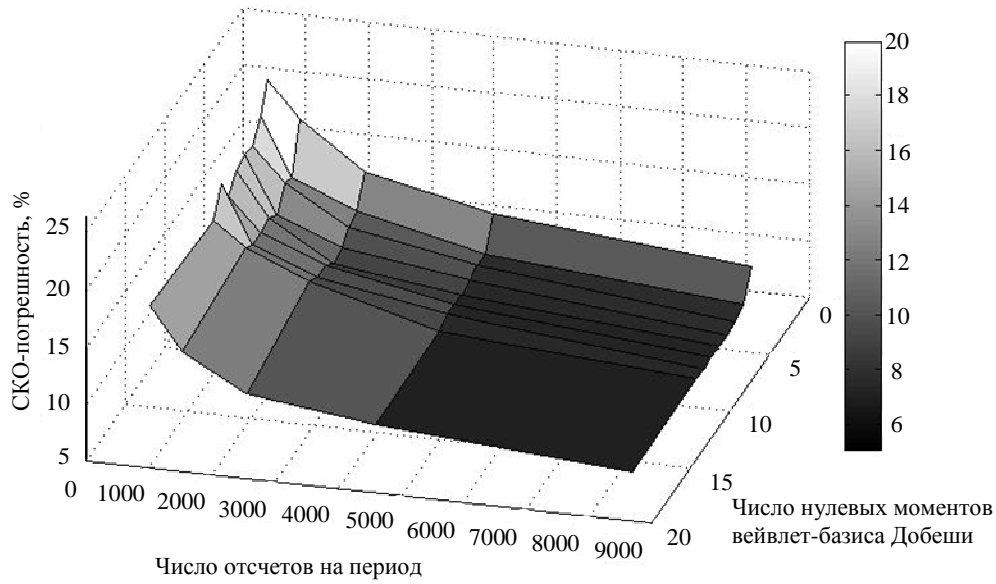


Рис. 6

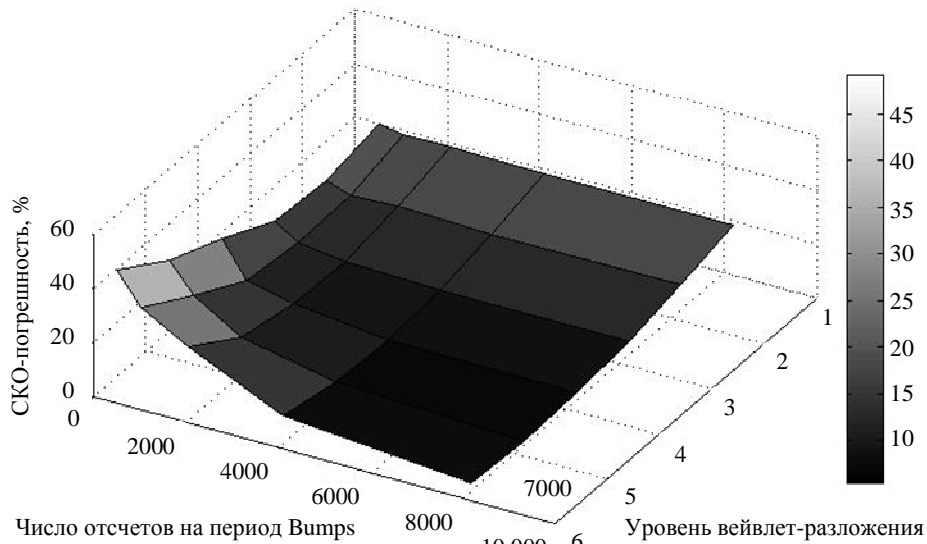


Рис. 7

исходный полезный сигнал; \hat{x}_i – оценка исходного полезного сигнала; N – количество отсчетов исследуемого сигнала; $\sigma_s = \sqrt{\frac{1}{N} \sum_{i=1}^N x_i^2}$ – средне-квадратическое (действующее) значение сигнала.

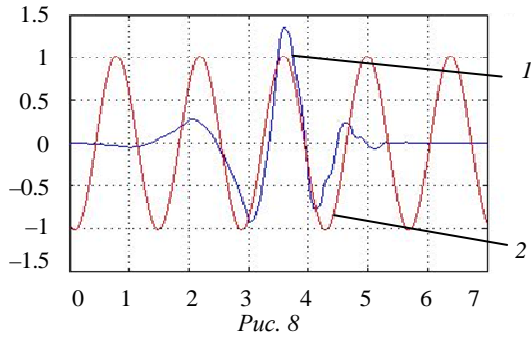
Относительная погрешность фильтрации [%] в равномерной метрике равна:

$$\sigma_{O \max} = \frac{\Delta_{\max}}{\max |x_i|} 100,$$

где $\Delta_{\max} = \max_{i=1:N} |x_i - \hat{x}_i|$ – абсолютная погрешность фильтрации в равномерной метрике.

Методика выбора частоты дискретизации. Из теоремы Котельникова [3] известно, что если

носитель функции \hat{f} , которая равна свертке исходного сигнала с идеальным НЧ-фильтром (частота среза фильтра $2\pi/T$) содержится в $[-\pi/T; \pi/T]$, то это условие гарантирует отсутствие резких изменений f между последовательными отсчетами и это позволяет восстановить ее с помощью интерполяции. Вейвлет-фильтр не обладает прямоугольной АЧХ, поэтому частота дискретизации (1) увеличивается на множитель L_{fc} , равный длительности основного периода базисной вейвлет-функции. На рис. 8 приведена вейвлет-функция Добеши 4 (db4) 1 и выделена основная гармоника 2 в ее спектре, период которой составляет 1.4 отсчета; центральная частота 0.71429.



На рис. 9 приведено относительное распределение энергии сигнала *Bumps*, построенное спектроанализатором, в зависимости от числа отсчетов на период данного сигнала.

Из рис. 9 следует, что для полного описания энергетического спектра сигнала *Bumps* достаточно 1024 отсчетов (рис. 9, *а*). Ясно, что чем больше число отсчетов на период, тем выше частота дискретизации. Во избежание путаницы в обозначениях далее примем, что максимальная частота в спектре исследуемого сигнала 256 отсчетов в секунду (1024 отсчета за 4 с).

Соответственно, по (1) частота дискретизации сигнала *Bumps*, требуемая для осуществления преобразования, равна:

$$f_d = 2f_{\max} \cdot L_{fc} = 2 \cdot 256 \cdot 1.4 = 716.8 \text{ с}^{-1},$$

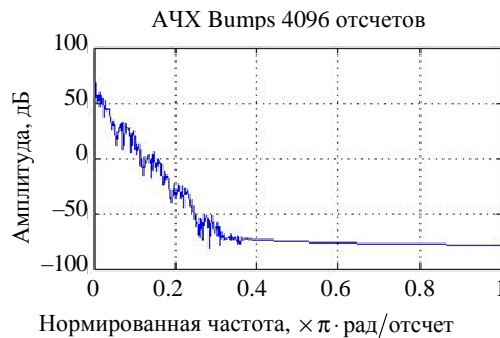
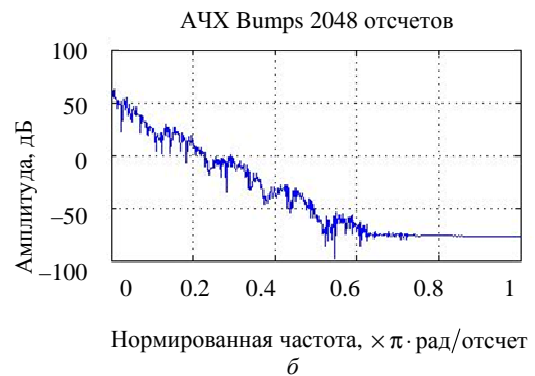
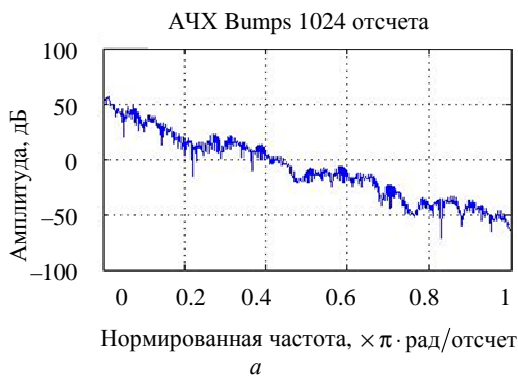


Рис. 9

что соответствует числу отсчетов на период сигнала *Bumps* – 2867 отсчетов.

На каждом уровне древовидного ОДВП сигнал должен быть четной длины [1], поэтому число отсчетов на период следует выбирать пропорциональным степени двойки. Ближайшее по верхней границе к 2867 отсчетам, кратное степени двойки число отсчетов – 4096 отсчетов для осуществления ОДВП.

Результат фильтрации сигнала *Bumps* для выбранного числа отсчетов на период – 4096 отсчетов – представлен на рис. 10.

На рис. 11, *а* приведена зависимость относительной среднеквадратической погрешности фильтрации, вычисленной по (2), от числа отсчетов на период исходного сигнала *Bumps*. На рис. 11, *б* приведена зависимость вычислительной сложности (O) вейвлет-алгоритма ОДВП от числа отсчетов на период сигнала *Bumps*.

Таким образом, методика выбора минимальной частоты дискретизации входного непрерывного сигнала, неограниченного по частоте, при осуществлении ОДВП для исключения эффекта наложения спектра может быть описана следующими шагами:



Рис. 10

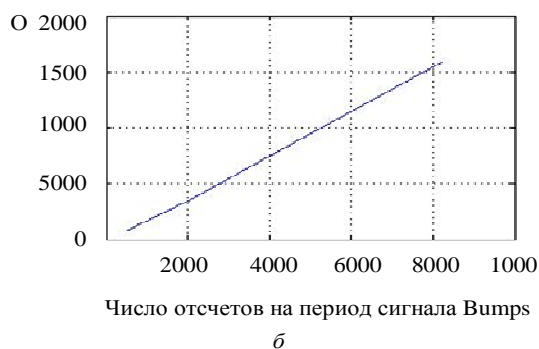
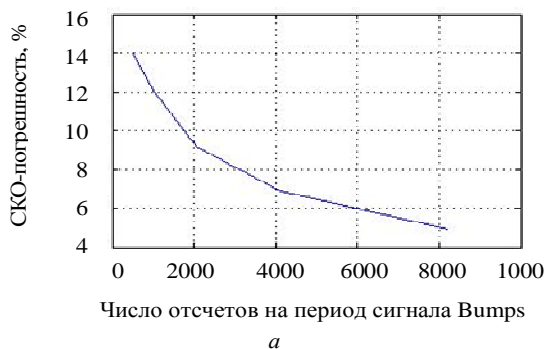


Рис. 11

1) провести предварительную фильтрацию непрерывного сигнала НЧ-фильтром с частотой среза f_{\max} ;

2) рассчитать теоретическую частоту дискретизации $f_{\text{д}}^*$ полученного сигнала согласно теореме Котельникова: $f_{\text{д}}^* = 2f_{\max}$;

3) определить основной период L_{fc} базисной вейвлет-функции;

4) рассчитать уточненную частоту дискретизации входного сигнала согласно выражению

$$f_{\text{д}} = f_{\text{д}}^* L_{fc}.$$

Таким образом, результат фильтрации ОДВП сигнала Bumps при выборе частоты дискретизации согласно (1) менее зависим от уровня разложения, способа пороговой обработки, выбранного базиса, влияния краевого эффекта. Увеличение частоты дискретизации приводит к уменьшению погрешности фильтрации, но к увеличению вычислительной сложности алгоритма. Из рис. 11 следует, что, начиная с 4096 отсчетов на период сигнала Bumps, погрешность фильтрации уменьшается много медленнее, чем растет вычислительная сложность алгоритма.

СПИСОК ЛИТЕРАТУРЫ

1. Воробьев В. И., Грибунин В. А. Теория и практика вейвлет-преобразования. СПб.: ВУС, 1999.
2. Авдеев Б. Я., Закемовская Е. Ю. Адаптивный вейвлет-алгоритм для измерительных каналов // Материалы 65-й науч.-техн. конф. профессорско-преподавательского состава СПбГЭТУ «ЛЭТИ». СПб.: Изд-во СПбГЭТУ «ЛЭТИ», 2012.
3. Малла С. Вейвлеты в обработке сигналов. М.: Мир, 2005.

E. Yu. Zakemovskaya

Saint Petersburg Electrotechnical University «LETI»

CHOICE OF FREQUENCY OF DIGITIZATION AT APPLICATION OF ORTHOGONAL DISCRETE WAVELET-TRANSFORMATION

In article the basic conditions of restoration by orthogonal discrete wavelet-transformation (ODWT) an informative signal against whitenoise with the minimum peak-phase distortions are allocated. Much attention is given a choice frequency of digitization of an investigated signal before transformation realisation.

Sampling rate, adaptive filters, wavelet-filter
